## 軸力変動下で繰り返し曲げを受ける鋼変断面ラーメン柱の崩壊メカニズムの変動特性

神戸市立工業高等専門学校 正会員 〇酒造 敏廣 長岡工業高等専門学校 正会員 宮嵜 靖大

#### 1. まえがき

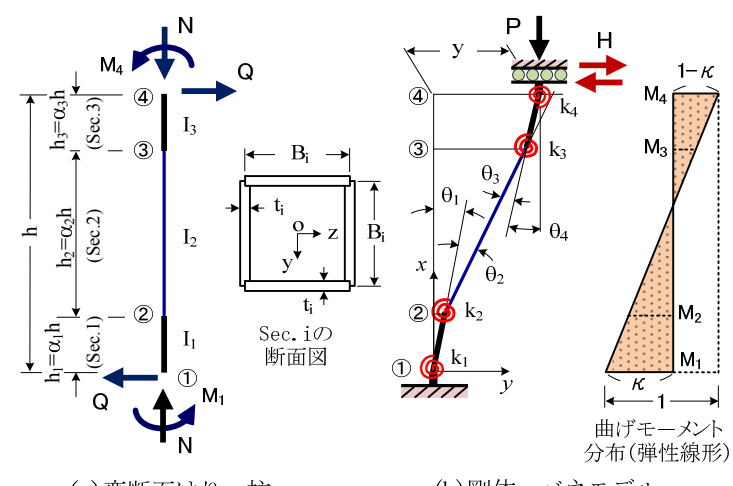
橋脚やタワー等,鋼骨組の柱部材は作用断面力が大きい柱基部や隅角部の格点部付近が補強された変断面構造となっている<sup>1)</sup>. しかし,骨組が非弾性範囲に及ぶ地震応答を呈するとき,変断面の柱がどのような弾塑性挙動を呈するかについては検討すべき課題が多い.

本研究は、繰り返し曲げを受ける変断面ラーメン柱の弾塑性解析を行い、軸力変動が崩壊メカニズムの変動に及ぼす影響について考察するものである<sup>2)-4)</sup>.

# 2. 変断面ラーメン柱の解析方法と塑性崩壊 メカニズム<sup>4)</sup>

図1(a)に示すように3つの断面Sec.1~3からなる柱を研究対象とする.上下端が剛なはり部材によって回転拘束され、上端が水平変位無拘束の場合を想定し、同図(b)に示す剛体・バネモデルを用いて弾塑性解析を行う.

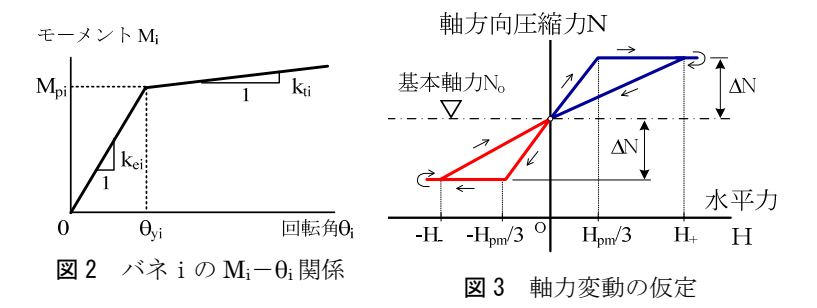
すなわち,点  $1\sim3$  の曲げモーメントに  $P\Delta$ 



(a)変断面はり-柱

(b)剛体・バネモデル

図1 軸力変動下で繰り返し曲げを受ける鋼変断面ラーメン柱



モーメントを考慮し、平衡点 n から n+1 の微小な変位増分区間において、増分水平力  $\Delta H$  と増分回転角  $\Delta \theta_i$  の関係が区分線形近似できるものとすると、次式が得られる.

$$\begin{bmatrix} k_{1} + k_{4} - P_{n+1}h & k_{4} - P_{n+1}(h_{2} + h_{3}) & k_{4} - P_{n+1}h_{3} \\ k_{4} - P_{n+1}(h_{2} + h_{3}) & k_{2} + k_{4} - P_{n+1}(h_{2} + h_{3}) & k_{4} - P_{n+1}h_{3} \\ k_{4} - P_{n+1}h_{3} & k_{4} - P_{n+1}h_{3} & k_{3} + k_{4} - P_{n+1}h_{3} \end{bmatrix} \begin{bmatrix} \Delta\theta_{1} \\ \Delta\theta_{2} \\ \Delta\theta_{3} \end{bmatrix} = \begin{bmatrix} \Delta Hh \\ \Delta H(h_{2} + h_{3}) \\ \Delta Hh_{3} \end{bmatrix} + \begin{bmatrix} \Delta Py_{n} \\ \Delta P(y_{n} - \theta_{1n}h_{1}) \\ \Delta P(\theta_{1n} + \theta_{2n} + \theta_{3n})h_{3} \end{bmatrix}$$
(1)

$$\Delta M_1 = k_i \Delta \theta_i, \quad \Delta \theta_4 = -\Delta \theta_1 - \Delta \theta_2 - \Delta \theta_3, \quad \Delta y = \Delta \theta_1 h + \Delta \theta_2 (h_2 + h_3) + \Delta \theta_3 h_3, \quad P_{n+1} = P_n + \Delta P$$
 (2)~(5)

ここに、 $k_i$ はバネi (=1~4) の回転バネ係数であり、モーメント $M_i$  一回転角 $\theta_i$  関係は**図2** のように仮定している. 弾性域の係数 $k_{ei}$ は、 $\theta_1$ ~ $\theta_4$ が初等ばり理論による値と一致するように決めた. 塑性モーメント $M_{pi}$ には軸圧縮力N

による全塑性モーメントの低 下を考慮している<sup>2)</sup>.

本研究では、上式を用いて増 分水平変位  $\Delta y$  に対する水平力  $\Delta H$  を求め、定水平変位振幅の 弾塑性解析を行った。軸力変動 量  $\Delta N$  は水平力 H に対応させて、

図 3 のように仮定した. 図中,

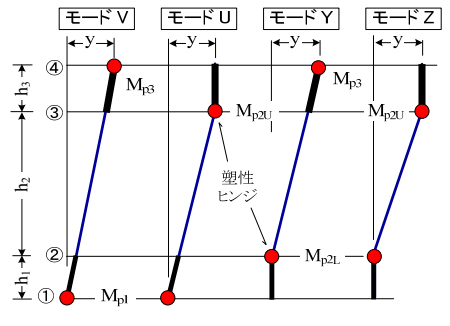


図4 塑性崩壊メカニズム

表1 解析モデルの諸元

	断面幅 B <sub>i</sub>	板厚 t <sub>i</sub>	降伏点 σ <sub>νi</sub>
Sec.i	(mm)	(mm)	(MPa)
1	750	24	235~450
2	750	22	235
3	750	24	450

注)柱高さ h=12m,断面変化点  $\alpha_1$ = $\alpha_3$ =0.2,基本軸力  $N_0$ =0.25 $N_{y2}$ ,軸力変動  $\Delta N$ =0.1 $N_{y2}$ , $N_{y2}$ : Sec.2 の全断面降伏荷重, $k_{e1}$ = $k_{e4}$ =1.298×10<sup>12</sup>Nmm, $k_{e2}$ = $k_{e3}$ =4.865×10<sup>11</sup>Nmm, $k_{ti}$ = $k_{ei}$ /10<sup>2</sup>.

キーワード 変断面柱,軸力変動,弾塑性挙動,崩壊メカニズム,不安定現象,P Δ 効果

連絡先 〒651-2194 神戸市西区学園東町8-3 神戸市立工業高等専門学校・都市工学科

TEL078-795-3263

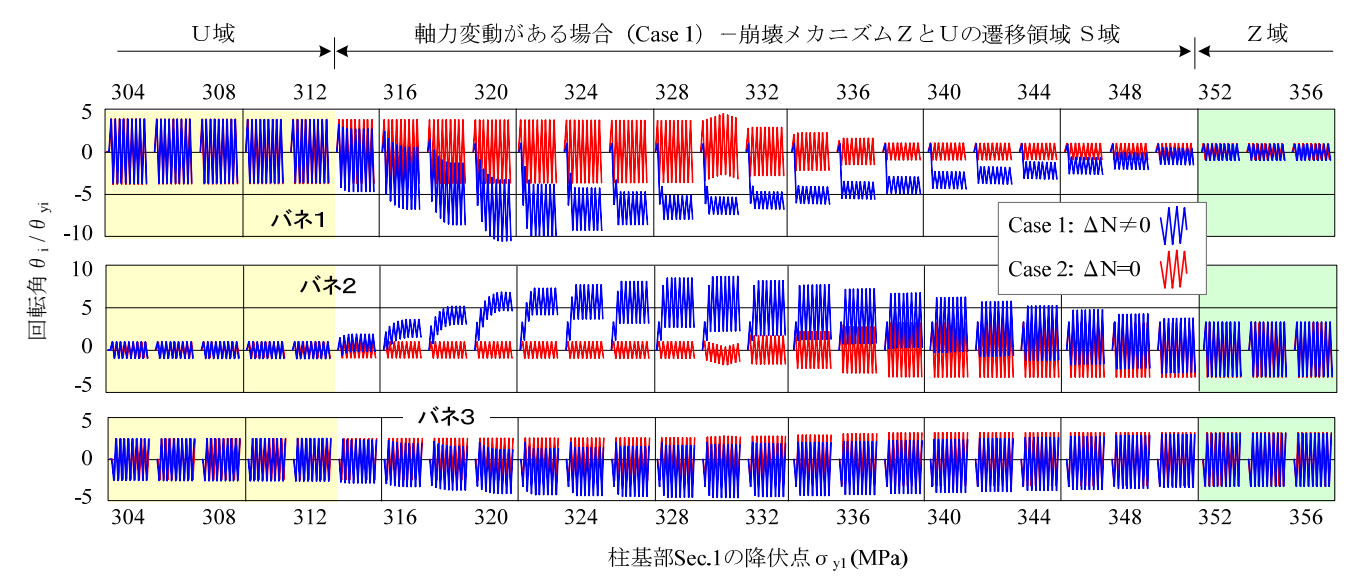


図 5 柱基部 Sec.1 の降伏点によるバネiの回転角 $\theta_i$ の変動

 $H_{pm}$  は塑性崩壊荷重, $H_+$ と  $H_-$  は変位反転時の正・負水平力である.また,解析対象の変断面柱に考えられる塑性崩壊メカニズム(V, U, Y, Z)を**図 4** にまとめる.

### 3. 解析結果と考察

解析に用いた柱の諸元を**表 1** に示す.柱上部 Sec.3 を弾性状態に保ち,Sec.2 の降伏点を一定にして,柱下部 Sec.1 の降伏点  $\sigma_{y1}$  を変化させて解析を行った.基本軸力  $0.25N_{y2}$ で Case 1:

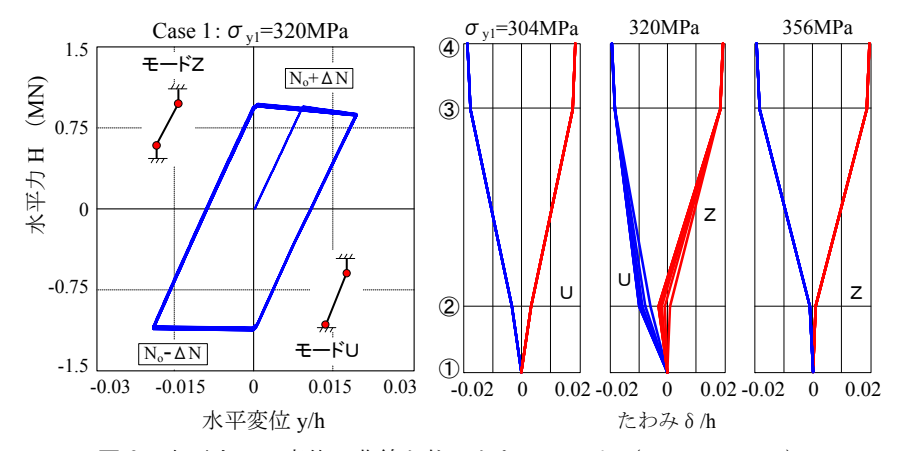


図 6 水平力 H-変位 y 曲線と柱のたわみモード (Case 1: △N≠0)

軸力変動  $\Delta$  N=0.1 $N_{y2}$ , Case 2:  $\Delta$  N=0 として, $\sigma_{y1}$  によるバネ i=1 $\sim$ 3 の回転角  $\theta_i$  の半サイクル毎の変動を図 5 にまとめる。  $\theta_i$  は降伏回転角  $\theta_{yi}$  で無次元化しており, $|\theta_i/\theta_{yi}| \ge 1$  の範囲はバネ i が塑性変形していることを意味する。 また,Case 1 のときの H-y 曲線とたわみモードを図 6 に例示する。

これらの図からわかるように、Case 1、2 ともに、バネ 3 は  $\sigma_{y1}$  にかかわらず塑性化している。軸力変動がない Case 2 の場合、 $\sigma_{y1}$  によるバネ 1、2 の回転角  $\theta_1$ 、 $\theta_2$  の変動は塑性シェイクダウンの挙動を呈し、崩壊メカニズムが U から Z に滑らかに変化している。一方、軸力変動がある Case 1 の場合、 $\theta_1$ 、 $\theta_2$  の変動は  $\sigma_{y1} \le 312 MPa$ 、 $\sigma_{y1} \ge 352 Mpa$  の範囲で Case 1 と同程度である。 $\sigma_{y1} = 314 \sim 350 Mpa$  の範囲(遷移領域 S)では、バネ 1 と 2 の塑性変形が半サイクル毎に交番し始め、回転角は Case 2 のときの 2~3 倍にも大きくなっている。この区間にある  $\sigma_{y1} = 320 MPa$  の柱のたわみモードはバネ 2 の位置で片側に膨らんだ S 字形となっている。H-y 曲線の最大耐力点~変位反転点間の勾配には、H の正・負側で軸力変動の影響がよく現れている。崩壊メカニズムの遷移領域 S にある Case 1 の柱の弾塑性性状は、文献 2)、3)で指摘したように、耐震上不都合なものである。

### 4. まとめ